

## 右足蜡油样骨病 1 例

张建功<sup>1</sup>, 侯世文<sup>2</sup>, 王盛龙<sup>1</sup>

(1. 庆城县岐伯中医医院, 甘肃 庆城 745100; 2. 庆阳市中医医院, 甘肃 庆阳 745000)

**关键词** 骨硬化; 骨肥厚; 蜡油样骨病

蜡油样骨病于 1922 年由 Leri 和 Joanny 等首先描述并报道, 又称 Leri - Joanny 综合征、单肢型骨硬化、蜡泪样骨病等, 表现为沿着肢体长骨出现的线状骨硬化或骨肥大, 犹如蜡油自一侧流下的形态<sup>[1]</sup>。这是一种罕见的骨质硬化性疾病, 国内有关本病的文献报道较少<sup>[2-6]</sup>。2018 年 10 月我们收治 1 例右足蜡油样骨病患者, 现报告如下。

患者, 女, 34 岁, 于 16 年前无明显诱因出现长时间行走或站立后右足疼痛, 以右足底外侧及足跟部疼痛最为明显, 当时未予以重视。后期右足疼痛反复发作, 时轻时重, 自行服用止痛药物或休息后疼痛可明显缓解。右足疼痛部位常伴有轻度肿胀, 病情与天气变化等因素无明显关系。近 1 周来因右足疼痛复发且加重, 于 2018 年 10 月 25 日来我院就诊。患者既往体健, 无急慢性传染病史, 无外伤及手术史, 亦无家族遗传性病史。患者自患病以来, 无畏寒发热, 无夜间盗

汗, 体重无变化。体格检查: 患者一般情况良好, 体温 36.6℃、脉搏 78 次·min<sup>-1</sup>、呼吸 18 次·min<sup>-1</sup>、血压 110/70 mmHg (1 mmHg = 0.133 kPa); 右足外侧及第 4、5 趾轻度肿胀, 第 5 跖趾关节处可扪及 1 个肿块, 大小约为 1 cm × 0.5 cm、质硬、轻度压痛、推之不移动、表面凸凹不平、局部皮温不高, 右足跟部有压痛及叩击痛, 右足第 4、5 跖趾关节活动部分受限, 右足感觉及血液循环正常。实验室检查: 红细胞沉降率、类风湿因子及血清钙、磷、碱性磷酸酶含量均无异常。X 线检查: 右足第 4、5 跖骨轻度弯曲畸形 [图 1(1)]; 第 4、5 趾骨及跖骨、骰骨、跟骨可见斑点状、蜡油滴样致密影, 骨髓腔变窄、硬化 [图 1(2)、图 1(3)]; 跖趾、跖跗及跗骨间关节面均未累及, 关节间隙均未见异常 [图 1(4)]。诊断为右足蜡油样骨病。予以口服塞来昔布胶囊、红外线理疗等对症处理后症状缓解。

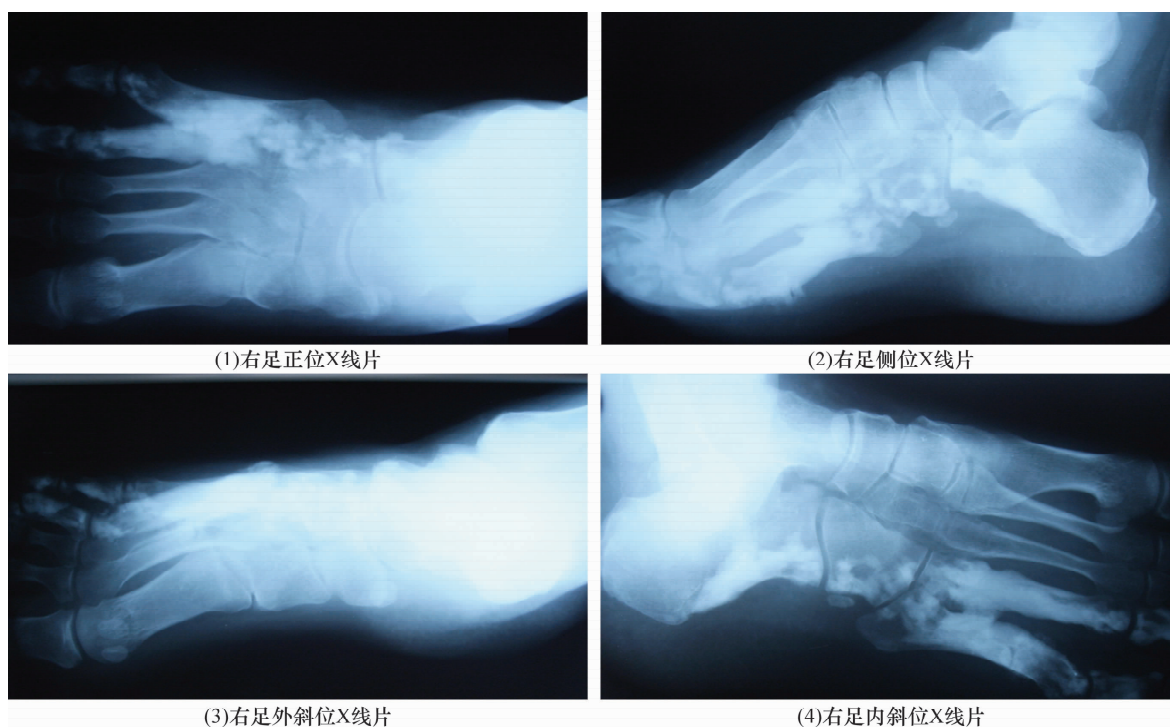


图 1 右足蜡油样骨病患者 X 线片

## 讨 论

蜡油样骨病的病因至今尚不明确,早期研究认为该病是胚胎早期感觉神经感染导致各个生骨节的改变<sup>[7]</sup>,幼年时开始发展,成年后进展缓慢。后来很多学者对其进行了研究,认为本病与外伤无关,是一种先天性骨骼发育障碍性疾病,无遗传性,但有家族倾向性,并认为其发生可能与血管发育不全、炎症、结缔组织退行性疾病等因素有关<sup>[8-9]</sup>。

据统计,蜡油样骨病的发病率约为 1/100 万<sup>[10]</sup>,好发于一侧的四肢长骨,下肢骨与上肢骨的受累比例约为 3:1,短骨或扁平骨发病比较少见。儿童至老年人都可发病,以青中年患者多见,男女患者比例大致相等<sup>[11-12]</sup>。本病早期多无症状,当过度增生的骨质压迫邻近血管神经时会出现局部肿胀、疼痛等表现。疼痛是蜡油样骨病的主要症状,受累部位的痛感尤为明显,活动时加重。部分患者会出现渐进性包块,皮温正常,包块质地较硬,按压时伴有压痛感。部分患者会出现患肢关节增粗,导致关节活动受限、肌肉萎缩等。病变晚期常出现骨骼变形、肢体缩短等情况。病变可跨越关节,即关节两端骨质发生明显新骨堆积,关节腔及关节面仍保持正常,是本病的特点<sup>[13-14]</sup>。

肉眼观察病变组织可见骨膜及骨内膜增生,呈不规则的条状硬化,致骨轮廓变形,骨皮质萎缩,不出现膨胀现象,病变区无骨质破坏。镜下观察病变组织可见骨的哈氏管扭曲、变形,成熟骨与未成熟骨混合存在,板层骨排列密集紊乱,骨小梁和骨髓腔可被纤维组织替代。

X 线是本病的首选检查方法,也是主要的诊断依据。CT 可显示病变细节,可作为补充检查手段。MRI 对本病诊断意义不大,但有助于观察周围软组织情况。按照 X 线表现本病常分为 4 型:①皮质内型。病变向骨皮质内流动。②皮质外型。病变向骨皮质外流动。③皮质旁型。病变流于软组织内。④混合型。以上不同类型组合<sup>[15]</sup>。由于该病早期无症状,不易发现,医生若不熟悉该病的 X 线特征,容易误诊。诊断本病时还应与骨斑点症、石骨症、硬化性骨髓炎等疾病相鉴别。

本病为良性病变,病程长,一般不会恶变。但过

度增生的骨质缺乏矿化,溶骨作用加强,可导致发育障碍和病理性骨折<sup>[16]</sup>。由于本病病因尚不明确,目前也无有效的治疗方法,一般予以对症治疗,或酌情选用关节松解及矫形手术治疗。

## 参考文献

- [1] 刘长城,何宗明.蜡油样骨病 X 线诊断及鉴别诊断(附 2 例报道并文献复习)[J].中国医疗前沿,2013,8(3):91-92.
- [2] 吴建锋,张胜强.蜡样骨病一例[J].生物骨科材料与临床研究,2016,13(1):80.
- [3] 王海辰,吴朋.下肢蜡泪样骨病 1 例[J].疑难病杂志,2014,13(8):859.
- [4] 颀东升,郑烽.下肢蜡泪样骨病致膝关节僵硬一例并文献复习[J].山西医药杂志,2017,46(13):1617-1618.
- [5] 刘军平.左下肢蜡泪样骨病 1 例[J].罕少疾病杂志,2015,22(1):21-22.
- [6] 龚自良,冯大鹏,李正维.同时侵及椎体和肋骨的蜡泪样骨病 1 例报告[J].中国矫形外科杂志,2018,26(5):477-479.
- [7] GREENFIELD G B, ARRINGTON J A. Imaging of bone tumors[M]. Philadelphia: Lippincott Williams & Wilkins, 1995:325.
- [8] 倪伦,赛小珍,孙银翠,等.蜡油样骨病 1 例报告[J].中医正骨,2008,20(1):10.
- [9] MCCAY T, MULVIHILL J, LEONARD J C. Multifocal melorheostosis[J]. Clin Nucl Med, 2006, 31(8):504-505.
- [10] 郑翰林,王保仓,李勇,等.右锁骨蜡泪样骨病一例[J].中国骨与关节杂志,2017,6(2):155-157.
- [11] 牛金龙,张民,黄远章.右下肢蜡泪样骨病 1 例及文献复习[J].实用骨科杂志,2015,21(10):952-954.
- [12] 吴枕戈,刘绪明,郑文龙,等.蜡油样骨病的 X 线诊断[J].医学影像学杂志,2014,24(1):162-164.
- [13] 刘庆旭,李静,赵小春,等.左下肢蜡油样骨病 1 例[J].中国临床医学影像杂志,2015,26(10):759-760.
- [14] 殷德振,兰海,王元浩.开窗减压治疗蜡泪样骨病一例[J].中国医师杂志,2013,15(3):430-431.
- [15] 于成福,杨艺,曾行德.蜡油样骨病的 X 线诊断(附 5 例报告)[J].中国医学影像技术,1999,15(12):976-977.
- [16] 刘安全,胡良波.肢骨纹状增生症一例[J].中国中医骨伤科杂志,2006,14(6):81.

(收稿日期:2018-12-13 本文编辑:李晓乐)